

## 이종재의 브레이징 계면에서 주상 조직의 성장 기구

김정석 · 배종수\* · 윤덕용\*\*

호서대학교 재료화학공학부, \*한국기계연구소 재료공정연구부

\*\*한국과학기술원 재료공학과

## Columnar Structural Growth in Molten Filler Metal during Brazing of Dissimilar Materials

Jeong Seog Kim, Jong-Soo Bae\* and Duk-Yong Yoon\*\*

Dept. of Materials and Chemical Engineering, Hoseo University, Asan, Chungnam 336-795,

\*Dept. of Materials Processing, Korea Institute of Machinery and Metals, ChangWon, Kyungnam 641-010, \*\*Dept. of Materials Science and Engineering, Korea Advanced Institute of Science and Technology, Taejon 305-701

(Received October 31, 1997)

**ABSTRACT** Cu-brazed layer between the sintered-cam(Fe-5Cr-1Mo-0.5P-2.5C, wt%) and seamless steel-pipe(0.25-0.35C, 0.3-1.0 Mn, bal Fe, wt%) in the camshaft shows a columnar structure of  $\gamma$ -phase growing from the steel pipe. Liquid phase sintered 60Fe-40Cu alloys arc carburized to simulate the brazing process giving rise to the columnar growth. Liquid film migrations and columnar growth of  $\gamma$ -grains are observed in the carburized regions. The  $\gamma$ -grains grow in the same direction as the C-diffusion. Fe-solubility in the liquid of carburized region is higher than in the uncarburized by about 0.3 at%. The columnar growth is driven by the gradient of the supersaturated Fe-solute in the liquid between two adjacent  $\gamma$ -grains.

### 1. 서 론

브레이징 접합층(filler metal) 내의 미세조직은 상대 접합재료의 종류와 조성에 따라 다양한 형태로 나타난다. 이같은 브레이징 현상에 대해서는 吉田亨 등<sup>1-4)</sup>이 체계적으로 수행한 바 있다. 이들의 연구에 의하면 브레이징 접합계면에서의 고상 정출(deposition)은 크게 판상(epitaxial plate)성장과 주상(columnar) 성장으로 분류된다. 판상(epitaxial plate) 성장은 Fe-Mo, Fe-W, Fe-Ni, Fe-Cr 등과 같은 이종재 접합에서 나타나고, Fe모재로부터 시작된다. 반면, 주상(columnar) 성장은 브레이징되는 두 상대 모재의 탄소(C) 성분이 다를 때 나타나는 것으로, 저탄소 모재로부터 주상성(columnar)이 성장하고, 저탄소 모재에서는 용해반응이 일어난다. 두 상대 모재의 탄소량이 동일할 때는 주상성(columnar) 성장이 발생하지 않는다. 브레이징 층 내에서 고상이 판상(epitaxial plate)

으로 정출하는 현상은 기존에 보고된 여러 연구를 통해 밝혀진 바 있다. 그러나 주상성(columnar)의 형성에 대해서는 명확한 원인이 밝혀져 있지 않다. 吉田亨 등<sup>1)</sup>은 주상성(columnar)형성의 원인이 용융 동합금(Cu-Fe)의 액상선(liquidus) 온도가 탄소량에 따라 증가하기 때문인 것으로 설명하였다. 본 연구에서는 먼저 소결 캠샤프트의 접합계면을 분석하여, 이 경우에도 브레이징 계면에서 주상성(columnar)이 형성되는지를 확인하였다. 액상소결될 Fe-Cu계 합금에 대한 침탄실험을 통해 기존에 보고된 주상(columnar) 성장 기구에 대한 문제점을 고찰하였다.

본 연구에서 분석한 소결 캠샤프트는 1970년대 Toyota 자동차(주)<sup>5)</sup>에서 개발하기 시작한 것으로, 근래 국내 자동차 업계에서도 소결 캠샤프트의 개발에 성공하여 양산 체계를 갖춘바 있다. 소결 캠샤프트는 중공(hollow)압출 강관에 소결캠, 저널 및 기어 등을 접합시켜 제조하는 것으로, 접합공정으로는 브레이-

징(brazing), 마찰암접, 확산접합(diffusion bonding) 등이 사용된다.

## 2. 실험방법

Toyota Motor Co.의 1SU엔진에 적용된 바 있는 소결 캠사프트를 절단하여 브레이징 계면에서 주상정 성장이 발생하는지를 확인하였다. 캠사프트의 브레이징계면에서 관찰되는 주상정(columnar) 형성기구를 규명하기 위해 브레이징 과정을 모델화하여 실험하였다. 철과 동분말을 사용하여 (60~65)Fe-(35~40)Cu 조성(wt%)이 되게 혼합한 후 1130°C와 1230°C에서 4~40시간 동안 액상 소결한 후, 동일 온도에서 침탄하였다. 침탄은 2가지 방법을 사용하였다. 첫째는 액상소결 후 바로 로내 분위기를  $\text{CO}+\text{CO}_2$  혼합가스로 바꾸어 침탄시켰다. 이때 유량은  $\text{CO}$ 가 100 cc/min,  $\text{CO}_2$ 가 0.574 cc/min 되게 공급하여, 탄소의 활동도(activity)가 0.3되게 하였다. 둘째는  $\text{BaCO}_3$ 와 흑연 분말을 1:1로 혼합한 후 알루미나 도가니 내에 액상 소결체와 함께 충진시켜 공기중에서 반응시켰다. 시료는 SiC 연마지, 1 μm  $\text{Al}_2\text{O}_3$ , 0.05 μm  $\text{Al}_2\text{O}_3$ 의 순으로 연마한 후 5% nital용액으로 부식하였다. 광학현미경과 주사전자현미경으로 미세조직을 관찰하였고, WDS(wavelength dispersive spectroscopy)로 성분 분석을 하였다.

## 3. 결과 및 고찰

탄소함량이 서로 다른 소결캠(Fe-5Cr-1Mo-1.5Cu-0.5P-2.5C, wt%)과 압출강관 샤프트(JIS STKM 15C, 0.25~0.35C, 0.3~1.0 Mn, bal Fe)의 접합계면을 분석한 결과 단순한 확산접합과 브레이징 접합이 모두 관찰되었다. 그림 1은 브레이징 접합계면으로, 소결캠으로부터 주상(columnar) 성장이 관찰된다. 그림 1(b)에서 두 모재 간의 간격이 클수록 주상정의 성장이 억제됨을 알 수 있다.

주상정이 고탄소 재료인 소결캠(-2.5%C)으로부터 저탄소 재료인 압출강관(~0.3%C)쪽으로 성장해가는 것은 吉田 亨等<sup>1,2)</sup>의 실험결과와 일치한다. 이들은 주상정 성장원인으로 그림 2에 나타낸 바와 같이 액상동 합금(Cu-Fe)의 액상선(liquidus line)<sup>o</sup> 탄소성분첨가에 따라 높아지기 때문으로 설명하였다. 즉, 탄

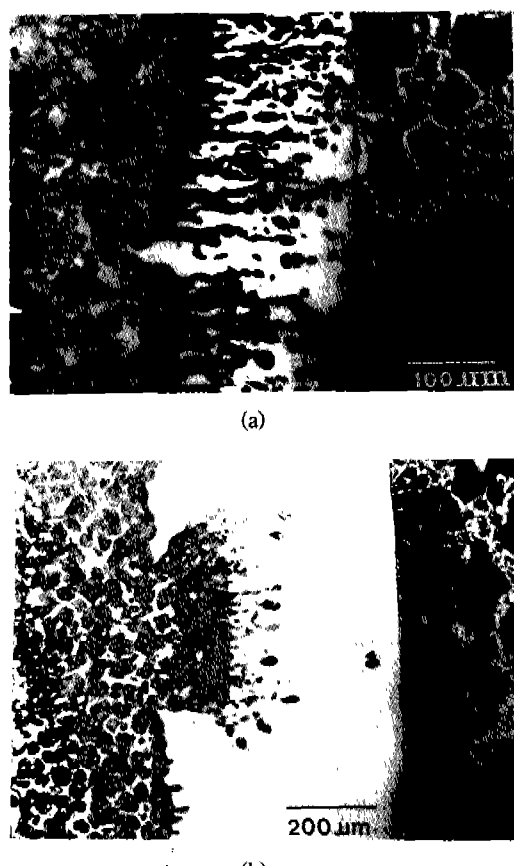


Fig. 1. Optical microstructure of a brazed joint in the sintered camshaft.

소 함량이 서로 상이한 두 모재가 액상동과 접하고 있을 때, 액상 내 Fe 평형용해도가 고탄소 계면에서

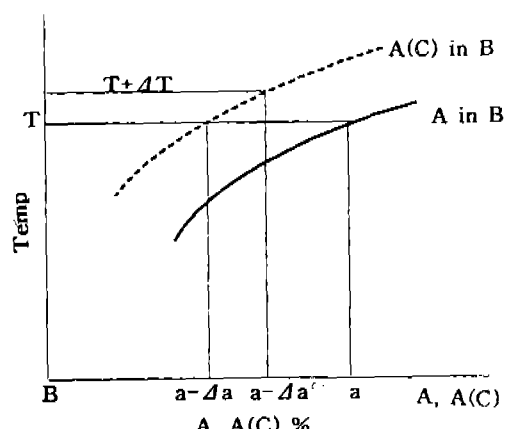


Fig. 2. The rise of liquidus line by carbon presence in the base metal (A-C)-B from a binary system (A-B).

보다 저탄소 계면에서 더 크다고 가정하였다. 따라서 저탄소 계면에서는 용해반응이 일어나고, Fe원자가 고탄소 계면쪽으로 이동하여 조성적 과냉(constitutional supercooling)<sup>6)</sup> 발생한다. 이 때 액상 동합금 (Cu-Fe)내에서의 탄소원자의 확산은 고려하지 않았다. 그러나 Fe-Cu-C상태도 연구에 관련된 문헌<sup>6-10)</sup>에 의하면 액상 내에도 탄소의 용해도가 있으며, 吉田 亨 등이 가정한 것과는 달리 Fe용해도는 탄소 함량에 따라 오히려 증가하는 것으로 보고되었다. Parameswaran 등<sup>6)</sup>과 Maddocks 등<sup>7)</sup>에 의하면 Fe-Cu-C계에서 고상 γ내에서 Cu와 C는 상호 활동도(activity)를 높여주기 때문에, 각 성분은 상대원소의 고용도를 감소시킨다. Fe가 주성분인 액상 L<sub>1</sub>에서도 Cu와 C는 각각의 상호 용해도를 감소시키는 것이 여러 실험결과로부터 확인된다. 그러나 Cu가 주성분인 L<sub>2</sub> 액상에 대해서는 L<sub>1</sub>보다 실험적 자료가 적다. Maddocks 등이 50Fe-50Cu합금에서 탄소첨가에 따른 액상분리반응( $L \rightarrow L_1 + L_2$ )을 연구한 결과에 의하면, 1172°C에서 L<sub>2</sub>내에는 95~98%의 Cu와 0.1 wt% 미만인 소량의 탄소 및 나머지 Fe로 구성되어 있고, C의 농도증가에 따라 Cu의 평형농도가 감소한다. 또한 Parameswaran 등도 90Cu-10Fe에서 탄소의 활동도에 따라 융점(L<sub>2</sub>) 형성온도를 측정한 결과 90Cu-10Fe 이원계 경우 융점이 1095°C이었으나, 탄소 활동도를 증가시킴에 따라 융점(solidus temperature)<sup>8)</sup> 1088°C로 감소하였다.

이같은 연구보고들은 吉田 亨이 가정하였던 액상 동합금 내의 Fe-Cu-C간의 상호 용해도 관계와는 반대되는 것이다. 따라서, 본 연구에서는 브레이징 과정

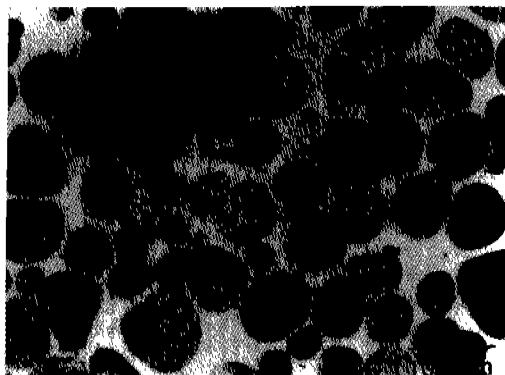


Fig. 3. Optical microstructure of liquid phase sintered 60Fe-40Cu alloy at 1130 °C for 40 hrs.

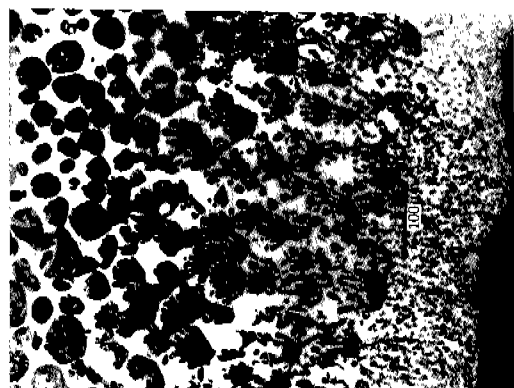
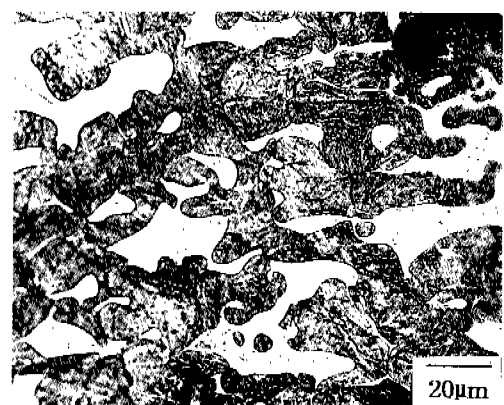
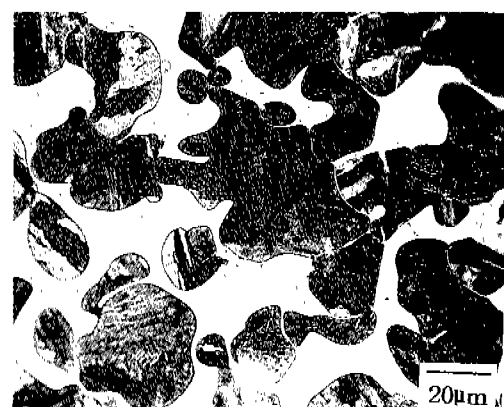


Fig. 4. Optical microstructure of the liquid phase sintered 60Fe-40Cu alloy carburized at 1130 °C for 30 min.



(a)



(b)

Fig. 5. Optical microstructure of 60Fe-40Cu alloy liquid phase sintered at 1230 °C for 4 hrs and carburized at the same temperature for 1 hr showing (a) interface instability and (b) liquid film migration.

을 모델화하여 주상정 성장의 원인을 고찰하였다. 그림 3은 60Fe-40Cu합금을 1130°C에서 40시간 동안 소결한 후 수냉한 조직이다. 그림 4는 소결시료를 BaCO<sub>3</sub> 와 흑연 혼합분말을 사용하여 동일온도에서 30분 동안 공기중에서 침탄시킨 조직이다. 시료 중앙에는 원래 액상소결 조직이 유지되고 있고, 침탄표층에 가까워질수록 고상 γ입자의 계면이 불안정화되고 또한 표면근처에서는 고상입자가 매우 미세화된다. 그림 5는 1,230°C에서 4시간 소결한 60Fe-40Cu시료를 동일 온도에서 1시간 동안 침탄한 조직이다. (a)는 침탄층 표면에 가까워 침탄이 비교적 심하게 진행된 부분으로 고상 γ가 계면 불안정(interface instability)에 의해 심하게 주름진(corrugated) 형상을 보이고 있고, 주상 정의 성장방향은 탄소의 확산방향과 일치한다. 그림 (b)는 침탄표면으로부터 좀 더 멀어진 곳으로서 고상 입자의 모양이 불규칙하며, 두 고상입자가 접하고 있는 부분에서는 액상막 이동현상(liquid film migration)이 관찰된다. 이때 탄소의 농도가 낮은 중앙 쪽의 γ입자가 용해(dissolution)하고 탄소농도가 높은 표면쪽의 γ입자에 정출한다. 동일한 한 γ상 입자 내에서는 표면 쪽 부분이 용해하고, 중앙쪽 부분이 성장한다. 그림 6은 그림 4 시료의 침탄층 표면에서 중앙까지 고상 γ 입자에 대한 Cu조성을 분석한 것이다. 침탄이 심하게 진행된 γ입자일수록 Cu성분이 감소함을 알 수 있다.

그림 7은 그림 5(b)에서 액상막(liquid film) 전후의 고상에 대한 Cu성분을 분석한 것으로, 액상막 이동이나 주상 성장에 의해 새로 형성된 고상에는 Cu성분이 약 0.3 at% 낮게 나타난다. 탄소증가에 따른 Cu 고용도 감소는 Parameswaran 등이 Fe-Cu-C계 상평형에 관련되

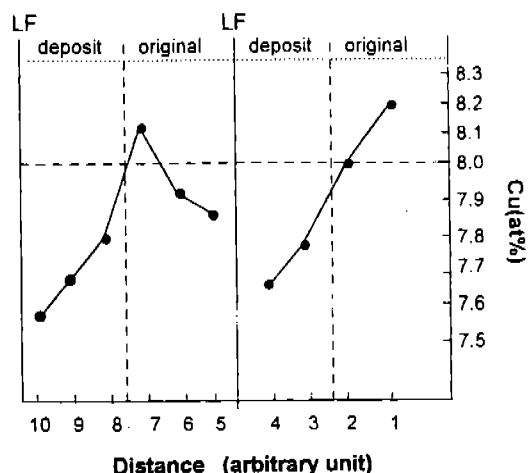


Fig. 7. WDS analysis of the solid grains in Fig. 5(b). (LF: migrating liquid film, deposited: deposited solid, original: original solid)

어 보고한 결과와 일치한다. 새로 형성된 고상 γ-Fe(C<sub>2</sub>) 내의 Cu농도가 위치에 따라 변화하는 것은 시간에 따라 시료내 탄소농도가 증가하기 때문인 것으로 판단된다. 그림 8은 60Fe-40Cu시료를 1230°C에서 침탄한 경우 침탄층 표면(1번)에서부터 시료중앙(9번)까지 액상의 Fe성분을 분석한 결과이다. 침탄이 되지 않는 것으로 판단되는 중앙부의 액상에는 3.0 at% Fe가 고용되어 있고, 침탄이 발생함에 따라(3~6번) Fe성분이 3.2~4.0 at%로 증가함을 보여준다. 탄소성분의 증가에 따라 액상(3~6번) 내에 Fe용해도가 증가하는 것은 Maddocks 등과 Parameswaran 등의 결과와 일치한다.

그림 8에서 3~6번으로 표시된 영역은 액상막 이동

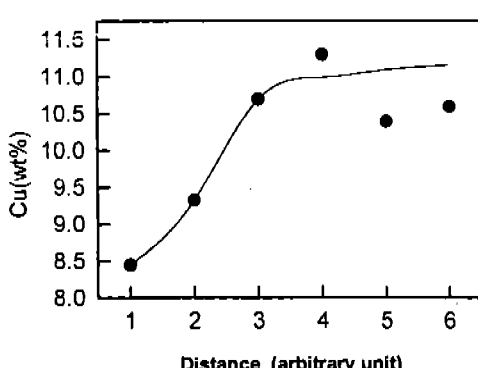


Fig. 6. WDS analysis of the solid grains in Fig. 4. (1: near surface, 4-6: central region)

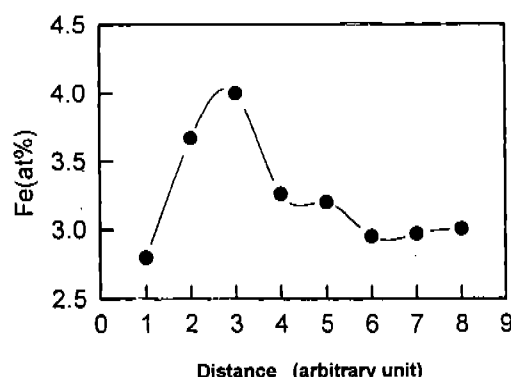


Fig. 8. Composition change of the liquid from a near surface (1) to central region(6-8).

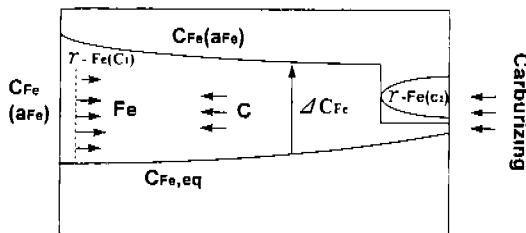


Fig. 9. Fe-solute content variation in the liquid between two adjacent solid grains. ( $\gamma\text{-Fe(C}_1\text{)}$ : uncarburized,  $\gamma\text{-Fe(C}_2\text{)}$ : carburized,  $\gamma\text{-Fe(C}_3\text{)}$ : deposited solid)

과 계면불안정에 의해 고상  $\gamma$ 의 용해-정출현상이 가장 활발하게 이뤄지는 곳으로서, 이 부분에서 액상내 Fe용해도는 침탄이 일어나지 않은 시료 중앙보다 높은 것을 확인할 수 있다. 그러나, 침탄에 의해 액상내 Fe평형농도가 높아지는 것만으로는 그림 4와 그림 5에서 관찰되는 바와같은 주상정 성장을 설명할 수 없다. 주상정 성장을 위해서는 그림 9에 나타낸 바와 같이 성장하는 고상 입자  $\gamma\text{-Fe(C}_2\text{)}$  선단에 조성적 과냉이 발생하여야 한다. 이 조성적 과냉은 용해하는 고상입자  $\gamma\text{-Fe(C}_1\text{)}$ 가 화학적으로 불안정해지는 경우에만 가능하다. 그림 10은 용해-정출 과정에서 각 상의 자유 에너지와 용해도의 관계를 나타낸 것이다. 그림에서 점선으로 표시된  $\gamma\text{-Fe(Co)}$ 는 탄소가 없는 Fe-Cu 2원계를,  $\gamma\text{-Fe(C}_2\text{)}$ 는 용해-정출반응에 의해 새로 형성되는 고상이다.  $\gamma\text{-Fe(C}_1\text{)}$ 는  $\gamma\text{-Fe(Co)}$ 가 화학적으로 불안정해진 상태를 뜻한다.

$\gamma\text{-Fe(C}_1\text{)}$ 이  $\gamma\text{-Fe(Co)}$ 보다 불안정해지는 ( $G$  증가) 원인은 두 가지 측면으로 고려할 수 있다. 첫째,  $\gamma\text{-Fe}$  내에서의 탄소의 확산이 Cu보다 빠르기 때문에  $\gamma\text{-Fe}$

(Co)는 Cu농도의 변화가 없이 탄소성분만 증가하여 화학적으로 불안정해진다. 만약 吉田亨 등이 제시한 바와 같이 액상 내 Fe 평형농도가 모재의 탄소농도에 의해 결정되는 것이라면 액상 내 Fe 용해도가 Fe-Cu 2원계보다 높아질 수 없다. 따라서  $\gamma\text{-Fe(C}_1\text{)}$ 의 불안정으로 액상내 Fe농도가 L-Cu( $C_0$ )에서 L-Cu( $C_1$ )으로 증가한다. 둘째, 브레이징 과정에서 저탄소 모재가 용해하고 고탄소계면이 성장하는 것은 그림 5에서 관찰되는 액상막이동과 원리적으로 동일한 현상으로 판단된다. 액상막이동의 구동력은 이동계면 선단의 고상에서 용질원소의 확산에 의해 발생한 정합변형에너지(coherency strain energy)<sup>11)</sup>이다. 정합변형에너지  $G_c$ 는 다음식으로 나타내진다.

$$G_c = V_m Y \delta$$

여기서  $V_m$ 은 물체적,  $Y$ 는 탄성계수,  $\delta$ 는 용해하는 고상에서 용질원소의 확산에 의한 정합변형률 [ $\delta = \eta (Cs-Co)$ ,  $\eta$ 는 조성변화에 따른 격자상수의 변화분율  $\frac{1}{a} \left( \frac{\partial a}{\partial c} \right)$ ]이다. 그림 9에서  $\gamma\text{-Fe(C}_1\text{)}$ 내 Cu는 평형값보다 높기 때문에 Cu의 확산(dealloying)의 해평형값으로 변화한다. 이때 액상층과 고상계면에서 확산층이 형성되어 정합변형에너지가 발생하고 이것이  $\gamma\text{-Fe(C}_1\text{)}$ 의 에너지 증가 원인이 될 수 있다. 그림 7에서 새로 형성된  $\gamma\text{-Fe(C}_2\text{)}$ 와 원래 고상  $\gamma\text{-Fe(Co)}$ 와의 Cu고용도 차이는 약 0.3 at%로, 확산층 내의 조성변화도 이 정도값을 갖는 것으로 추정된다. 이때 정합변형률  $\delta$ 는  $1.5 \times 10^{-4}$ 으로서 액상막이동이 관찰되는 합금계에서의  $\delta$ 값과 유사하다.

주상정 형성원인을 도식적으로 나타낸 그림 9는 주상정(columnar) 성장 및 액상막 이동이 발생하는 영역에서 인접한 두 고상 입자를 고려하였다.  $C_{Fe,eq}$ 는 Maddocks 등과 Parameswaran 등의 연구 보고를 바탕으로 탄소농도 증가에 따라 증가하게 표시하였다. 시료 중앙쪽의  $\gamma\text{-Fe(C}_1\text{)}$ 은 그림 10에서 나타낸 바와 같이 화학적으로 불안정한 상태이어서  $\gamma\text{-Fe(C}_1\text{)}$ 과 접하는 액상 내의 Fe용해도가 높다. 또한 액상내 Fe평형농도는 탄소농도에 따라 증가하기 때문에 액상 내 Fe의 활동도는 표면쪽으로 감소하는 경향을 갖게된다. 표면 쪽의  $\gamma\text{-Fe(C}_2\text{)}$ 는 새로 형성된 고상으로서  $\gamma\text{-Fe(C}_2\text{)}$  계면에서 Fe농도가 감소한다. 따라서, 탄소의 확산 방향을 따라 Fe의 과도화가 증가하여 정출고상

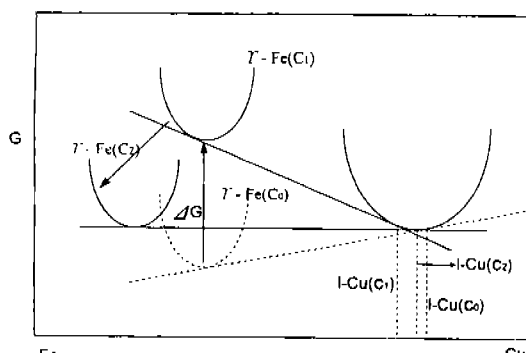


Fig. 10. Free energy and liquid composition change by carburization. ( $\gamma\text{-Fe(Co)}$ : uncarburized,  $\gamma\text{-Fe(C}_1\text{)}$ : carburized,  $\gamma\text{-Fe(C}_2\text{)}$ : deposited solid)

은 C의 확산방향과 동일하게 성장하게 된다.

인 분석이 필요하다.

## 4. 결 론

소결캠 샤프트의 브레이징 계면에서 고탄소 성분의 캠으로부터  $\gamma$ 상이 주상(columnar) 형태로 성장하는 원인을 조사하였다. 액상소결된 60Fe-40Cu합금을 침탄함으로써 브레이징 과정을 모델화 실험하였다.

1. 표면으로부터의 탄소 확산에 따라  $\gamma$ 입자는 용해정출반응을 나타낸다. 계면 불안정에 의한 주상(columnar) 성장과 액상막 이동(liquid film migration)에 의해 새로운 고상이 형성되었고, 새로 형성된 고상에는 Cu농도가 약 0.3at% 감소하였다.

2. 침탄되지 않은 액상보다 침탄이 일어난 액상 내의 Fe 용해도가 0.2~0.7 a% 높았다. 침탄에 따른 액상 내의 Fe 용해도 증가는 침탄에 의한 Fe-평형 농도의 증가와  $\gamma$ -Fe상의 불안정화 및 정합변형율( $\delta=1.5 \times 10^{-4}$ )발생에 기인하는 것으로 판단된다.

3.  $\gamma$ 상의 용해정출과정에서  $\gamma$ 상은 탄소의 확산과 동일한 방향으로 성장한다. 이것은 인접한 두  $\gamma$ 입자 사이의 액상 내에서 Fe(평형)용해도 구배에 의해 형성된 조성적 과냉도가 탄소이동 방향을 따라 증가하기 때문으로 판단된다.

4. 액상 내의 Fe-용해도 증가에 미치는 탄소 농도와 정합변형률의 상대적 기여도에 대해서는 추가적

## 감사의 글

본 연구는 대우중공업(주)의 연구비 지원에 의해 수행되었으며, 이에 감사드립니다.

## 참 고 문 헌

1. 吉田 亨, 大村 博彦, 上 紀吉: 溶接學會誌, **46** (1977) 25.
2. 吉田 亨, 大村 博彦: 溶接學會誌, **49** (1980) 117.
3. 大村 博彦, 吉田 亨: 溶接學會誌, **51** (1982) 411.
4. 大村 博彦, 吉田 亨: 溶接學會誌, **53** (1982) 606.
5. T. Saganuma, H. Nakamura, and T. Hikosaka: Toyota Technol., **33** (1983) 151.
6. K. Parameswaran, K. Metz, and A. Morris: Metall. Trans., **10A** (1979) 1929.
7. W. R. Maddocks and G. R. Claussen: *First Report of the Alloy Steel Research Committee*: Special Report No. 14, The Iron and steel Institute, London (1936) 107.
8. R. Rivlin: Intern. Met. Rev., **29** (1984) 111.
9. G. Perbix: Dissertation, Aachen (1959).
10. H. Schenck and G. Perbix: Arch. Eisenhuttenwes., **32** (1961) 123.
11. D. Y. Yoon: Intern. Mat. Rev., **40** (1995) 149.
12. W. B. Pearson: *A Handbook of Lattice Spacings and Structures of Metals and Alloys*, 1, Pergamon Press, Oxford (1958).